

دانشگار

بز شکر

۱. استادیار - گروه آسیب‌شناسی دهان و فک و صورت، دانشکده دندانپزشکی، بابل ، ایران
 ۲. استادیار - گروه پاتولوژی، دانشگاه علوم پزشکی، بابل ، ایران
 ۳. داشتجوی دندانپزشکی دانشکده دندانپزشکی بابل، ایران

E-mail: sf_seify@yahoo.com

نویسنده مسئول:

حکایت

مقدمه و هدف: آملوبلاستوما تومور خوش خیم اپیتلیالی ادنتوژنیک بوده که رفتار تهاجمی تری نسبت به کیست های ادنتوژنیک دارد. هدف مطالعه حاضر، ارزیابی کمی و کیفی رنگ آمیزی نیترات نقره در کیست های ادنتوژنیک و آملوبلاستوما و مقایسه آن با رفتار بیولوژیکی بالینی آن ها بود.

مواد و روش‌ها: در این مطالعه گذشته‌نگر به روش مقطوعی، از شصت بلوک پارافینه ضایعات ادفنتورزیک برای رنگ‌آمیزی نیترات‌نقره استفاده شد. برای ارزیابی کمی آن‌ها به تعداد صد سلول با بزرگنمایی صد برابر شمرده شده و میانگین آن در نظر گرفته شد. از نظر کیفی، آرایش NORs به انواع نرم‌مال (کرد- بیضوی) تا غیرنرم‌مال (بزرگ، لوبيایی شکل، خوش‌های) تقسیم شدند. نتایج آنالیز آماری One way T test تجزیه و تحلیل شد.

نتایج: تعداد NORs در آملوبلاستوما $7/2 \pm 2/7$ ، آملوبلاستومای تککیستی $7/2 \pm 2/5$ و آملوبلاستومای کراتوسیست $4/7 \pm 1/84$ بود. کیست دانتی زور $2/82 \pm 0/052$ بود. اختلاف آماری معناداری در بین آملوبلاستوما و آملوبلاستومای تککیستی دیده نشد ($P = 0/8$). اما اختلاف آماری معناداری در بین NORs بین آملوبلاستوما با کیست‌های ادنتوژنیک مشاهده شد ($P < 0/001$). در کیست دانتی زور آرایش NORs نرمال داخل هسته‌ای بود. در کراتوسیست آرایش بزرگ تا لوپیابی شکل و بهندرت خوش‌های NORs و در آملوبلاستوما و آملوبلاستومای تککیستی، آرایش خوش‌های شکل مشاهده شد.

دوماهنامه علمی-پژوهشی
دانشگاه شاهد
سال هفدهم - شماره ۱۳۸۹
شهریور

وصول: ٨٩/٦/١٨
آخرین اصلاحات: ٨٩/٧/٢٧
بذیرش: ٨٩/٨/٢

نتیجه‌گیری: نه تنها تعداد NORs در آملوبلاستوما نسبت به کیست‌های ادنتوژنیک افزایش می‌یابد، بلکه آرایش NORs نیز در آملوبلاستوما متفاوت از کیست‌های ادنتوژنیک است. ارزیابی کمی و کیفی رنگ‌آمیزی نیترات‌نقره انعکاس‌دهنده رفتار تهاجمی‌تر آملوبلاستوما نسبت به کیست‌های ادنتوژنیک است.

واژگان کلیدی: آملوبلاستوما، آملوبلاستومای تککیستی، ادنتوژنیک کراتوسیسیت، کیست دانته، ژور، نتراتنفره

مقدمه

رنگ آمیزی نیترات‌نقره روشی ساده، ارزان، قابل تکرار و تک مرحله‌ای بوده که در کنار رنگ آمیزی هماتوکسیلین - ائوزین در پاتولوژی ضایعات دهانی به ویژه ضایعات تومورال کاربرد دارد. با این رنگ آمیزی NORs که به عنوان پروتئین‌های نقره‌دوست بوده و روی بازوی کوتاه کروموزوم پنج قرار دارند، رنگ پذیر می‌شوند. تعداد NORs در هسته بیانگر میزان پرولیفراسیون سلولی و پلوئیدی DNA است. که در اتصال با نقره به صورت نقاط سیاه رنگ در هسته با میکروسکوپ نوری قابل روئیت هستند (۱۰-۱۲). برخی از مطالعات ارزش بیانی رنگ آمیزی نیترات‌نقره را در انعکاس رفتار تهاجمی ضایعات ادنتوژنیک تأیید کرده (۱۳ و ۱۲) و مطالعات دیگر رنگ آمیزی نیترات‌نقره را در این زمینه فاقد ارزش دانستند (۱۴). در مطالعه حاضر، به دلیل تفاوت در رفتار تهاجمی چهار ضایعه ادنتوژنیک مذکور بر آن شدیم، رنگ آمیزی نیترات‌نقره را به طریق کمی و کیفی بررسی کنیم.

مواد و روش‌ها

در این مطالعه توصیفی - تحلیلی به روش مقطوعی نخست پرونده‌های بیماران در آزمایشگاه آسیب‌شناسی دهان و فک و صورت دانشکده دندانپزشکی و بیمارستان شهید بهشتی با بل بورسی شده و نمونه‌ها با تشخیص کیست دانتی ژور، ادنتوژنیک کراتوسیست، آملوبلاستومای تک کیستی و آملوبلاستوما خارج شدند. آطلاعات بالینی شامل سن، جنس و محل ضایعه از پرونده بیماران استخراج شد. برای تأیید تشخیص نمونه‌ها، نخست برش‌های چهار میکرونی تهیه شده و رنگ آمیزی هماتوکسیلین - ائوزین صورت گرفت و برای تأیید تشخیص، پاتولوژیست دهان نمونه‌ها را مشاهده کرد. سپس برش‌های ۴-۵ میکرونی از بلوک‌های پارافینه تهیه شد و رنگ آمیزی نیترات‌نقره انجام گرفت. برای پارافین زدایی، برش‌ها را به مدت پنج دقیقه در گزینل و پس از آن به مدت پنج دقیقه به ترتیب در ظروف حاوی الکل، اسید الکل و الکل مطلق قرار دادیم سپس رنگ

کیست دانتی ژور (فولیکولار) از شایع‌ترین کیست‌های تکاملی ادنتوژنیک بوده و بیست درصد کل کیست‌های حقیقی فکی را تشکیل می‌دهد. درمان این کیست با Enucleation و دارای عود بسیار اندک و پیش‌آگهی خوبی است (۲ و ۱).

ادنتوژنیک کراتوسیست، کیست ادنتوژنیک تکاملی به نسبت شایع فکی است که به دلیل رفتار تهاجمی و تمایل به عود بالا تحت عنوان تومور ادنتوژنیک کراتوسیست نامگذاری شده است. عوامل موجود در اپیتلیوم و ماتریکس متالوپروتئینازهای همبندی در مکانیسم رشد آن مؤثرند. درمان آن از طریق Enucleation همراه با کورتاژ بوده و احتمال عود بعد از درمان در مطالعات مختلف ۵-۶۲ درصد گزارش شده است (۱-۴).

آملوبلاستومای تک کیستی، ده تا پانزده درصد تمام آملوبلاستوماهای داخل استخوانی را تشکیل داده و به عنوان تومور ادنتوژنیک اپیتلیالی خوش خیم در نظر گرفته می‌شود. پیش‌آگهی آن مشابه آملوبلاستوما بوده و درمان آن از طریق Enucleation و کورتاژ صورت می‌گیرد (۵، ۲ و ۱).

آملوبلاستوما، تومور اپیتلیالی خوش خیم مخرب و پایدار با رفتار تهاجمی موضعی است. استفاده از Marginal Resection بهترین شیوه درمانی و با میزان عود اندک است (۲،۶ و ۱).

امروزه در آسیب‌شناسی دهان، از روش‌های متعدد کمکی برای تشخیص و توجیه رفتار تهاجمی ضایعات ادنتوژنیک استفاده می‌شود که شامل ایمونو‌هیستوشیمی (۷)، ISH (۸) و هیستومورفومتری (۹) و رنگ آمیزی نیترات‌نقره (۱۰) است. استفاده از ایمونو‌هیستوشیمی و ISH به دلیل هزینه بالا چندان به صرفه نیست (۸ و ۷) و با کاررد هیستومورفومتری اندازه هسته سیتوپلاسم و نسبت آن‌ها مشخص شده و قادر به نشان دادن میزان فعالیت و پرولیفراسیون هسته و هستک‌ها نیست (۹).

متصل به یکدیگر بودند، هر کدام به صورت یک واحد در نظر گرفته شد. سپس میانگین AgNORs در صد سلول برای هر اسلاید در پنج فیلد میکروسکوپی محاسبه و نتایج شمارش به صورت میانگین و انحراف معیار ($Mean \pm SD$) بیان شد. از نظر کیفی نیز نقاط سازمان یافته هستکی به انواع نرمال (گرد تا بیضوی شکل) و غیرنرمال (بزرگ، لوبيایی شکل و خوش‌های) تقسیم شدند. نتایج با استفاده از تست‌های آماری Anova ، T Test تحلیل آماری شدند و سطح معنادار در همه آزمون-ها 0.05 بود.

یافته‌ها

اطلاعات دموگرافیک مرتبط با مطالعه در جدول ۱ خلاصه شده است.

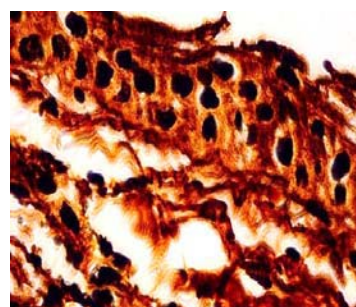
در بررسی نتایج کمی رنگ آمیزی نیترات‌نقره (AgNORs)، تعداد نقاط سازمان یافته هستکی در کیست دانتی ژور $2/82 \pm 1/05$ ، در ادنتوژنیک کراتوسیست $4/7$ و در آملوبلاستوما $1/84 \pm 2/56$ و در آملوبلاستوما $7/2 \pm 2/72$ بود (تصاویر ۱-۴).

آمیزی با محلول کلوئیدال نیترات‌نقره مطابق روش Ploton (۱۵) صورت گرفت. محلول نهایی شامل یک حجم ژلاتین دو درصد در محلول اسید فرمیک و دو حجم محلول نیترات‌نقره پنجاه درصد است. به این صورت که، اسلایدها نخست داخل یک بتی قرار گرفته و با یک پیپت، سه تا چهار قطره از محلول موردنظر در سطح آن‌ها ریخته شد. سپس با توسط یک درپوش شیشه‌ای پوشانده شده و به مدت سی دقیقه در درجه حرارت 45 درجه سانتی‌گراد و در تاریکی نگهداری شدند. پس از آن، درپوش شیشه‌ای به آرامی برداشته شد و اسلایدها در آب مقطر شسته شده و با گزیلن دهیدراته، در یک محلول Synthetic Medium مانند شدند. ارزیابی اسلایدها به روش کمی (روش استاندارد Crocker (۱۶) و کیفی (۱۷) صورت گرفت. در روش کمی، شمارش برای هر اسلاید، روی صد سلول و با بزرگنمایی صد برابر عدسی چشمی با روغن امولوسیون انجام گرفت. به این صورت که در همه اسلایدها، سلول‌هایی که در هسته آن‌ها یک یا تعداد بیشتری NORs (به صورت نقاط سیاه رنگ) وجود داشت، انتخاب شد و آن‌هایی که به صورت تجمعی و

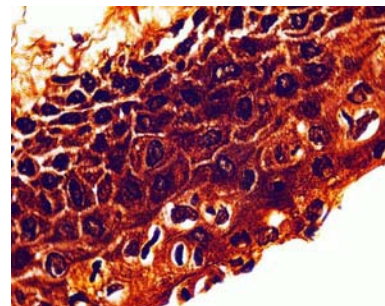
جدول ۱: توزیع فراوانی سنی، جنسی و محل ضایعات ادنتوژنیک شامل کیست دانتی ژور، کراتوسیست، آملوبلاستومای تک کیستی و آملوبلاستوما

| سن | | | | | |
|-----------|----------------|------------------------|----------------------------------|--------------------|----------------|
| | آملوبلاستوما | آملوبلاستومای تک کیستی | آملوبلاستومای تک کیستی کراتوسیست | ادنوژنیک کراتوسیست | کیست دانتی ژور |
| جنس | $38/1 \pm 1/6$ | $27/3 \pm 2/1$ | | $36/6 \pm 2/6$ | $24/4 \pm 3/2$ |
| | ۱۰ | ۹ | | ۱۲ | ۸ |
| محل ضایعه | ۵ | ۶ | | ۳ | ۷ |
| | ۱۵ | ۱۲ | | ۱۳ | ۱۰ |
| | - | ۳ | | ۲ | ۵ |

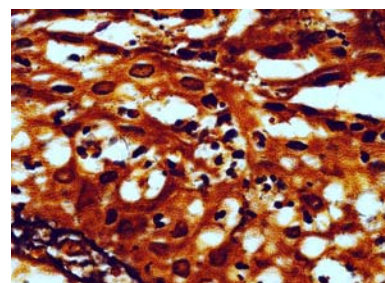
تصویر ۱: رنگ آمیزی نیترات‌نقره در کیست دانتی ژور ($\times 100$)
رنگ پذیری نقاط سازمان یافته هستکی با آرایش نرمال (گرد تا بیضوی شکل)



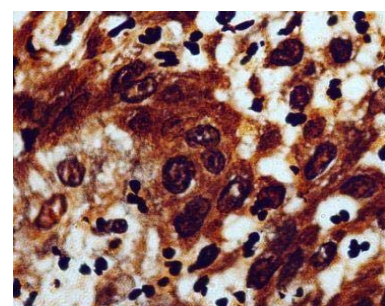
تصویر ۲: رنگ آمیزی نیترات نقره در ادنتوژنیک کراتوسیست ($\times 100$)
رنگ پذیری نقاط سازمان یافته هستگی با آرایش غیر نرمال (بزرگ، لوبيایي شكل) و بعضًا خوشه ای



تصویر ۳: رنگ آمیزی نیترات نقره در آملوبلاستومای تک کیستی ($\times 100$)
رنگ پذیری نقاط سازمان یافته هستگی با آرایش خوشه ای شکل



تصویر ۴: رنگ آمیزی نیترات نقره در آملوبلاستومای ($\times 100$)
رنگ پذیری نقاط سازمان یافته هستگی با آرایش خوشه ای شکل



تعداد نقاط سازمان یافته هستگی در لایه بازال ادنتوژنیک کراتوسیست $1/1 \pm 0/68$ و در لایه پارابازال $2/6 \pm 1/16$ بود. تعداد NORs در لایه پارابازال به طور معناداری از لایه بازال بیشتر بود ($p < 0/05$).

در ارزیابی کیفی رنگ آمیزی نیترات نقره در ضایعات ادنتوژنیک مذکور، در کیست دانتی ژور، نقاط سازمان یافته هستگی گرد تا بخصوصی شکل و بیشتر داخل هسته بودند. در ادنتوژنیک کراتوسیست اشکال غیر نرمال (بزرگ، لوبيایي شکل و بهندرت خوشه ای) مشاهده شد. اشکال بزرگ، بیشتر در لایه بازال و پارابازال نمایان بود اما اشکال لوبيایي شکل و خوشه ای بیشتر در لایه پارابازال دیده می شد. اشکال خارج هسته ای از NORs در لایه پارابازال مشاهده شد.

در آملوبلاستومای تک کیستی و آملوبلاستوما، NORs به صورت انواع داخل و خارج هسته ای، بیشتر به

اختلاف آماری معناداری در بیان NORs در آملوبلاستوما و آملوبلاستومای تک کیستی مشاهده نشد ($p = 0/8$) اما اختلاف آماری معناداری در بیان NORs در آملوبلاستوما با کیست دانتی ژور و کراتوسیست دیده شد. ($p < 0/001$).

همچنین اختلاف آماری معناداری در بیان NORs بین آملوبلاستومای تک کیستی از ادنتوژنیک کراتوسیست و کیست دانتی ژور مشاهده شد ($p = 0/007$).

تعداد NORs در ادنتوژنیک کراتوسیست بیشتر از کیست دانتی ژور بود ($p = 0/003$). تعداد نقاط سازمان یافته هستگی در لایه بازال کیست دانتی ژور $1/2 \pm 0/72$ و در لایه پارابازال $1/6 \pm 0/33$ بود. اختلاف آماری معناداری در بیان NORs در لایه بازال نسبت به پارابازال مشاهده شد ($p < 0/05$).

مطالعه ما موافق با نتایج مطالعات ایمونوہیستوشیمی در ارتباط با نشانگرهای پرولیپراسیون سلولی مانند Ki67 و PCNA در ادئورژنیک کراتوسیست است (۲۰). همچنین نتایج این مطالعه تأیید کننده عدم تبعیت کراتوسیست از چرخه نرمال سلولی است اما در مطالعه اسلامی و همکاران NORs بیشتری در لایه بازار نسبت به پارابازال

دیده شد (۱۹).

از نظر آرایش قرارگیری NORs در ادنتوژنیک کراتوسیست، اشکال غیرنرمal به صورت بزرگ، لوپیایی شکل و گاهی خوش‌های مشاهده می‌شد. در لایه بازال، بیشتر NORs بزرگ بوده و در لایه پارابازال انواع لوپیایی شکل و برخی خوش‌های مشاهده می‌شد. اگرچه بیشتر مطالعات تفسیر نتایج رنگ‌آمیزی نیترات‌نقره را به دلیل ساده بودن و قابل تکرار بودن آن به صورت کمی انجام دادند (۲۱، ۲۲ و ۲۳)، اما در مطالعه ما از نظر کیفی نیز در ضایعات ادنتوژنیک، رنگ‌آمیزی نیترات نقره بررسی شد.

افزایش تعداد NORs و تغییر در آرایش قرارگیری NORs در انتوژنیک کراتوسیست نسبت به کیست دانشی ژور بیانگر آن است که، نه تنها تعداد NORs بلکه آرایش قرارگیری NORs در کنار یکدیگر به نوعی بیانگر رفتار تهاجمی انتوژنیک کراتوسیست است. در این مطالعه، آرایش NORs در کراتوسیست اغلب بزرگ تا لوپیایی شکل بوده و برخی آرایش خوشباهی مشاهده شد.

مطالعات قبلی، از رنگ‌آمیزی نیترات‌نقره بیشتر در تشخیص ضایعات بدخیم استفاده کردند (۲۳) اما در این زمینه، اختلاف عقیده وجود دارد و به نظر می‌رسد تعداد NORs بیان‌کننده بدخیمی یا میزان پرولیفراسیون سلولی نیست. همچنین شمارش تعداد NORs برای تشخیص ضایعات ادتئورژنیک مانند آملوبلاستوما، آملوبلاستومای تک کیستی از کراتوسيست و کیست دانتی زور اسلامی و همکاران مطرح کردند (۱۹) اما مطالعات دیگر ارزش رنگ‌آمیزی نیترات‌نقره را در تشخیص ضایعات ادتئورژنیک تأیید نکردند (۲۴) به نظر می‌رسد، بررسی

صورت خارج هسته‌ای با آرایش نامنظم و خوشای و با اندازه کوچک به چشم می‌خورد. آرایش (طریقه قرارگیری NORs) در کیست دانتی ژور متفاوت از ادنتوژنیک کراتوسیست و آملوبلاستوما (چند کیستی و تک کیستی) بود.

بحث

نتایج مطالعه حاضر، بیانگر تفاوت در تعداد و آرایش قرارگیری NORs در کیست داتیژور و ادنتوژنیک کراتوسیست از آملوبلاستومای تککیستی و آملوبلاستومای Solid است. چرخه سلولی از چهار مرحله M، G1، S، G2 تشکیل شده است. سلول برای انتقال از هر مرحله به مرحله دیگر تحت کنترل بازرسانی است. هر چه فعالیت پرولیفراسیون سلولی بیشتر باشد، سرعت چرخه سلولی بیشتر شده و احتمال خطأ و اشتباه در حین تقسیم سلولی بیشتر خواهد بود. در عین حال، میزان فعالیت متابولیک سلولی افزایش می‌یابد (۱۸). در صورت افزایش سرعت چرخه سلولی، NOR ها بیشتر به تعداد زیاد و خارج هسته مشاهده ممکنند.

در مطالعه حاضر، تعداد NORs در کیست دانتیژور کمتر از ادنتوژنیک کراتوسیست بود و آرایش NORs در کیست دانتیژور هسته‌ای، گرد تا بیضوی شکل بوده و به ندرت انواع خارج هسته‌ای دیده شدنند. در عین حال، تعداد NORs در لایه بازال بیشتر از پارابازال بود.

اسلامی و همکاران، تعداد NORs را در کیست دانتی-ژور $\pm 0/49 \pm 0/51$ و در انتوژنیک کراتوسیست $\pm 0/47 \pm 0/68$ گزارش کردند اما اختلاف آماری معناداری در بیان NORs بین دو کیست مشاهده نکردند (۱۹) اما Coleman و همکاران، تعداد NORs بیشتری را در کیست دانتی-ژور نسبت به کیست دادیکو-لار گزارش کردند (۷).

در مطالعه مذکور، بیشتر بودن NORs در لایه بازال کیست داتی^۱ ژور بیان‌کننده تبعیت سلول‌های آن از چرخه نرمال سلولی است اما در ادتوژنیک کراتوسیست که دارای عود و رفتار تهاجمی بالاتری است، تعداد NORs در لایه پاراپلازل بیشتر از بازال بود که نتایج

بیشتر مطالعات از رنگ‌آمیزی نیترات‌نقره در افتراق تومورهای بدخیم از خوش‌خیم پستان (۲۶)، غدد بزاقی (۲۷)، کارسینوم سلول سنتگفرشی، از انواع پیش‌بدخیم و سودو ابی تلیوماتوز هپرپلازیا (۲۳) استفاده کردند اما مطالعات دیگر رنگ‌آمیزی نیترات‌نقره را فاقد ارزش تشخیصی در تمایز تومورهای خوش‌خیم از بدخیم استرومال معده و روده بیان کردند (۲۸) و محققان دیگر آن را فاقد ارزش تشخیصی در کارسینوم سلول سنتگفرشی و آدنوکارسینوم رحم گزارش کردند (۲۹).

Docarmo و همکاران، رنگ‌آمیزی نیترات‌نقره را در انعکاس رفتار تهاجمی آملوبلاستوما نسبت به تومور آدنوماتوئید ادنتوژنیک فاقد ارزش دانستند (۱۴).

Martins و همکاران نیز گزارش کردند، رنگ‌آمیزی نیترات‌نقره انعکاس‌دهنده رفتار تهاجمی‌تر آملوبلاستیک فیرروما نسبت به ادنتوژنیک میکسوما است (۱۲). در مطالعه‌ای که در سال ۲۰۱۰ **Carnelio** و همکاران انجام دادند، تعداد NORs در آملوبلاستوما و آملوبلاستیک فیرروما برای توجیه رفتار تهاجمی بررسی شد، آن‌ها مطرح کردند، تعداد NORs در آملوبلاستوما بیشتر از آملوبلاستیک فیرروما بوده و آملوبلاستوما مهاجم‌تر از آملوبلاستیک فیرروماست (۱۳).

در سال ۲۰۰۹، **Santos** و همکاران نیز گزارش کردند، تعداد NORs در آملوبلاستوما، نوع تک‌کیستی آملوبلاستوما (Mural) و کیست دانتی‌ژور انعکاس‌دهنده رفتار بالیتی و تمایل به تهاجم آن‌ها است (۲۴). برخی از مطالعات نیز در توجیه رفتار تهاجمی ضایعات استئوژنیک از رنگ‌آمیزی AgNORs استفاده کردند.

Souza و همکاران، رنگ‌آمیزی نیترات‌نقره را در افتراق انواع محیطی و مرکزی ژانت سل گرانولوم را مفید ندانستند (۳۰) و مطالعه **Sadri** و همکاران نیز روی ضایعات سلول ژانت مؤید نتایج **Souza** و همکاران است (۳۱).

به نظر می‌رسد، دلیل تفاوت در نتایج گزارش شده در بررسی مقالات انگلیسی زبان، شاید به دلیل اختلاف در متداول‌تری، مدت زمان انکوباسیون بلوک‌های پارافینه،

تعداد NORs در تشخیص ضایعات ادنتوژنیک بسیار محدود باشد به‌این دلیل بیشتر ضایعات ادنتوژنیک با رنگ‌آمیزی معمول هماتوکسیلین - ائوزین تشخیص داده- می‌شوند و در موارد مشکل‌تر، اغلب با زدن برش‌های متعدد، پاتولوژیست نوع ضایعه را تشخیص می‌دهد. اگرچه در مجموع نتایج مطالعه اسلامی و همکاران (۱۹) به نوعی در توافق با مطالعه مذکور است اما آن‌ها ارزیابی کمی رنگ‌آمیزی نیترات‌نقره را در تشخیص ضایعات ادنتوژنیک مطرح کردند اما در مطالعه ما ارزیابی کمی و کیفی در توجیه رفتار تهاجمی ضایعات ادنتوژنیک صورت گرفت.

در مطالعه حاضر، اگرچه تعداد نقاط سازمان یافته هستکی (NORs) در آملوبلاستوما بیشتر از آملوبلاستومای تک‌کیستی بود اما اختلاف از نظر آماری معنادار نبود که در توافق با مطالعه اسلامی و همکاران است (۱۹) اما **Santos** و همکاران، اختلاف آماری معناداری در تعداد NORs در آملوبلاستوما و آملوبلاستومای تک‌کیستی گزارش کردند که البته آن‌ها از انواع **Mural** در مطالعه خود استفاده کرده‌بودند اما در انواع **Intra luminal** و **Luminal** اختلاف آماری معناداری در شمارش NOR مشاهده نکردند (۲۵).

برخی از مطالعات، دلیل سرعت رشد آهسته را برای آملوبلاستوما پایین بودن بیان **Ki67** مطرح کردند (۲) اما در مقایسه با کیست دانتی‌ژور و ادنتوژنیک کراتوسیست، سرعت چرخه سلولی و میزان فعالیت پرولیفراسیون و فعالیت متابولیک سلول‌ها در آملوبلاستوما بالاتر است که در این مطالعه اختلاف در تعداد NORs همچنین نحوه قرارگیری آن‌ها در ضایعات ادنتوژنیک منعکس-کننده اختلاف در رفتار بیولوژیک آن‌هاست. در آملوبلاستوما و آملوبلاستومای تک‌کیستی، آرایش قرارگیری NORs غیرنرمال، خوش‌های، به‌نسبت گرد و نامنظم و کوچک بودند. در این مطالعه با کوچک شدن اندازه NORs، تعداد آن‌ها افزایش یافت. همچنین اغلب آرایش خارج هسته‌ای را نشان دادند.

گردد تا بیضوی شکل بوده و این آرایش در کراتوسیست با رفتار تهاجمی‌تر به صورت غیرنرم‌مال و داخل و خارج هسته‌ای (بزرگ تا لوپیایی شکل و برخی خوش‌های) تغییر کرده و در آملوبلاستوما و آملوبلاستومای تک‌کیستی بیشتر آرایش خارج هسته‌ای و خوش‌های شکل ایجاد شده است.

به نظر می‌رسد تفاوت در آرایش NORs در ضایعات ادنتوژنیک با این موضوع مرتبط است که NORs‌ها در چه مرحله‌ای از چرخه سلولی هستند و حتی اگر همگی در یک مرحله باشند، باز هم ممکن است از نظر ژن‌های ریبوزومال حمل شده متفاوت باشند (۳۲).

Trre و همکاران مطرح کردند، آرایش پروتئین‌های AgNORs طی فرایند کارسینوژنر در هپاتوسلولار کارسینوما تغییر می‌کند که شاید به دلیل افزایش ستز پروتئین‌های AgNOR جدید، ستز نامتعادل پروتئین‌های AgNORs و افزایش ستز نوکلئین و پروتئین B23 باشد که مرتبط با میزان پرولیفراسیون سلولی افزایش می‌یابد (۳۳).

در مجموع، از نتایج مطالعه حاضر به نظر می‌رسد، نه تنها تعداد NORs در آملوبلاستوما نسبت به کیست‌های ادنتوژنیک افزایش می‌یابد، بلکه آرایشی NORs نیز در آملوبلاستوما متفاوت از کیست‌های ادنتوژنیک است و به نوعی ارزیابی کمی و کیفی رنگ‌آمیزی نیترات‌نقره انعکاس دهنده رفتار تهاجمی‌تر آملوبلاستوما نسبت به کیست‌های ادنتوژنیک است.

تشکر و قدردانی

به این وسیله نویسندگان مقاله، از جناب آقای نوری که رنگ‌آمیزی نیترات‌نقره را برای پژوهش اخیر انجام دادند، تقدیر و تشکر به عمل می‌آورند.

مدت زمان فیکاسیون اولیه بلوک‌ها، نداشتن معیار استاندارد برای ارزیابی رنگ‌آمیزی نیترات‌نقره، استفاده یا عدم استفاده از لنز مدرج چشمی در تفسیر نتایج، حجم نمونه بررسی شده، مدت زمان رنگ‌آمیزی AgNORs، طریقه شمارش dots (بعضی مطالعات چند نقطه متصل به یکدیگر را یک نقطه در نظر گرفتند) نحوه بررسی NORs در ضایعات ادنتوژنیک (برخی لایه بازال را بررسی کرده و برخی دیگر کل لایه‌های اپی تلیوم را در نظر گرفته‌اند).

در تفسیر نتایج بیشتر مطالعات از نظر کمی (۱۹ و ۲۱) و بعضی دیگر از نظر کیفی (۱۹) و بعضی از نظر کمی و کیفی، نتایج رنگ‌آمیزی نیترات‌نقره را بررسی کردند. تمامی مطالعات صورت گرفته در زمینه ضایعات ادنتوژنیک، رنگ‌آمیزی AgNORs را از نظر کمی بررسی کردند. اما در این مطالعه نتایج کمی، مطالعه همگام با نتایج کیفی آن تأیید کننده ارزش کمی و کیفی رنگ‌آمیزی AgNORs در انعکاس رفتار تهاجمی‌تر آملوبلاستوما و آملوبلاستومای تک‌کیستی باشد.

مطالعات انجام شده با روش رنگ‌آمیزی اختصاصی شامل ایمونوهیستوشیمی و نیترات‌نقره کمتر به نحوه قرارگیری سلول‌ها یا هستک‌ها توجه کرده و شاید نحوه قرارگیری آن‌ها در کنار یکدیگر را تصادفی فرض کردند اما این‌گونه به نظر می‌رسد که، آرایش سلول‌ها و هستک‌ها در طی فرایند نئوپلاستیک همگام با تغییر در کمی آن‌ها تغییر می‌کند و در صورتی که سلول اپی-تلیالی نئوپلاستیک شود، سرعت تکثیر آن‌ها و میزان پروتئین‌سازی افزایش یافته و به دلخواه خود تقسیم شده و آرایش خاصی را در کنار یکدیگر ایجاد می‌کنند (۱۸ و ۲۱).

به طوری که در مطالعه مذکور، آرایش قرارگیری NORs در کیست دانتی‌ژور به صورت داخل هسته‌ای و

منابع

- 1- Neville BW, Damm DD, Allen CM, Bouquot JE. *Oral and Maxillofacial pathology.* 3rd ed. Philadelphia: W.B Saunders; 2009.
- 2- Regezi J, Sciubba J, Jordan CK. *Oral pathology, clinical pathologic correlation.* 4th ed. Philadelphia: W.B Saunders Co; 2003.
- 3- Shar M. The aggressive nature of odontogenic keratocyst is it a benign cystic neoplasm? Part 2: Proliferation and genetic studies. *Oral Oncology* 2002; 38: 323-31.
- 4- Kolar Z, Geierova M, Bouchal J, Pazdera J, Zboril V, Turdy P. Immunohistochemical analysis of biological potential of odontogenic keratocysts. *J Pathol Med* 2006; 35: 75-80.
- 5- Coleman H, Altini M, Ali H, Doglioni C, Faria G, Maiorano E. Use of calretinin in the differential diagnosis of unicystic ameloblastomas. *Histopathology* 2001; 38: 312.
- 6- Fregnani E.R, Perez DAC, Almeida OP, Kowalski LP, Soares F, Alves A. ClinicoPathological study and treatment outcomes of 121 cases of ameloblastomas. *Int J Oral Maxillofac Surg* 2010; 39: 145-9.
- 7- Kaplan I, Hirshberg A. The correlation between epithelial cell proliferation and inflammation in odontogenic keratocyst. *Oral Oncol* 2004; 40: 985-91.
- 8- Lu DP, Xing RD, Shu P, Tang XF, Zhang M. Cytokeratin 18 and their gene expression in jaw odontogenic keratocyst epithelial lining. *Hua xikou Qiang Yi Xue Za Shi* 2007; 25: 106-10.
- 9- Landini G. Quantitative analysis of the epithelial lining architecture in radicular cysts and odontogenic keratocysts. *Head Face Med* 2000; 2: 4.
- 10- Salaja M, Vandana KL. The diagnostic and prognostic implications of silver- binding nucleolar organizer regions in periodontal lesions. *Indian J Dent Res* 2008; 19: 36-41.
- 11- Heliot L, Mongelard F, Klein C, Odonohue MF, Chassery JM, Robert- nicoud M et al. Nonrandom distribution of metaphase AgNOR staining patterns of human acrocentric chromosomes. *J Histochem Cytochem* 2000; 48: 13-20.
- 12- Martins C, Carvalho YR, Carmo MA. Argyrophilic nucleolar organizer regions (AgNORs) in odontogenic myxoma (OM) and ameloblastic fibroma (AF). *J Oral Pathol Med* 2001; 30: 489-93.
- 13- Carnelio S, Vij H. Expression of tenascin and nucleolar organizer region in ameloblastoma and ameloblastic fibroma. *J Oral Pathol Med* 2010; 39: 223-29.
- 14- Do Carmo MA, Saliva EC. Argyrophilic nucleolar organizer region (AgNORs) in ameloblastoma and adenomatoid odontogenic tumors. *J Oral Pathol Med* 1998; 27: 153-56.
- 15- Ploton D, Mengar M, Yeannesson P, Nimbor P, Himmer G, Pigeon F, Adnet JJ. Improvement in staining and in the visualization of the argyrophilic proteins of the nucleolar organizer region at the optical level. *Histochem* 1986; 18: 5-14.
- 16- Crocker J, Skibek N. Nucleolar organizer region associated proteins in cutaneous melanotic lesion: A quantitative study. *J Clin Pathol* 1987; 40: 885-89.
- 17- Alarcon- Romevo Idel C, Illades – Aguiar B, Flores-Alfaro E, Teran- Procayo MA, Antoni- Vejar V, Reyes-Maldonado E. AgNOR Polymorphism associated with squamous intra epithelial lesions and invasive carcinoma with HPV infection. *Saud Public a Mex* 2009; 50:134-40.
- 18- Kumar V, Abbas A, Fausto N, Mitchell RN. *Robbins basic pathology.* 8th ed. Philadelphia: W.B Saunders; 2007.
- 19- Eslami B, Yaghmaei M, Firoos M, Saffar AS. Nucleolar organizer regions in selected odontogenic lesions. *Oral Surg Oral Med Oral Pathol Oral Radion Endod* 2003; 95: 187-92.
- 20- Gomes CC, Diniz MG, Gomez RS. Review of the molecular Pathogenesis of the odontogenic keratocyst. *Oral Oncol* 2009; 45:1011-4.
- 21- De Sousa FA, Paradella TC, Carvalho YR, Rosa LE. Comparative analysis of cell proliferation ratio in oral lichen planus, epithelial dysplasia and oral squamous cell carcinoma. *Med Oral Patol Oral Cir Bucal* 2009; 14: e 563-7.
- 22- Eslami B, Rahimi H, Rahimi F, Khiari MM, Ebadifar A. Diagnostic value of silver nitrate staining for nucleolar organizer regions in selected head and neck tumors. *J Cancer Res Ther* 2006; 2: 129-31.
- 23- Elangoven T, Mani NY, Malathi N. Argyophilic nucleolar organizer regions in inflammatory, premalignant and malignant oral lesions: a quantitative and qualitative assessment. *Indian J Dent Res* 2002; 19: 141-6.
- 24- Santos AC, Chaves Tar SB, Rivero ERC, Krause CI. Quantitative AgNORs Study in ameloblastoma. *Rev. Odonto. Cienc* 2009; 24: 10-14.
- 25- Allison RT, Spencer S. Nucleolar organizer regions in odontogenic cysts and ameloblastomas. *Br J Biomed Sci* 1993; 50: 309-12.
- 26- Gunter L, Hufnaggi P, Winzer KJ, Guski H. Different Proliferation patterns in breast cancer. AgNORs measurements in Er- negative and Er- positive tumor cells. *Analytical cellular pathology* 2000; 20:156-62.
- 27- Xin X, Nordgard S, Tore B. Prognostic significance of nucleolar organizer regions in adenoid cystic carcinomas of head and neck. *Arch Otolaryngol Head Neck Surg* 1997; 123: 615-20.
- 28- Beer TW, Rowlands DC, Crocker Y. AgNOR counts and determination of malignancy in stromal tumors of the stomach and small intestine . *J Clin Pathol* 1992; 45: 172-4.
- 29- Miller B, Flaz S, Dockter M, Photopoulos G. Nucleolar Organizer regions in adenocarcinoma of the uterine cervix. *Cancer* 1997; 74: 3142-5.
- 30- Souza PE, Mesquite RA, Gomez RS. Evaluation of P53, PCNA, Ki67, MDM2 and AgNOR in oral peripheral and central giant cell granuloma. *Oral Dis* 2000; 6:35-9.
- 31- Sadri O, Hejazi M, Jahanbani J, Forouzandeh A. Quantitative analysis of argyrophilic nuclear organizer regions in giant cell lesions of jaw. *J Oral Pathol Med* 2010; 39:431-4.
- 32- Heliot L, Mongelard F, Klein C, O Donhue MF, Chassery JM, Robert- Nicoul. AgNORs staining patterns on human acrocentric chromosomes. *J Histochem Cytochem* 2000; 48: 13-20.
- 33- Trere D, Derenzini M, Sirri V, Montanaro L, Grigioni W, Faa G, et al. Quahitative and quantitative analysis of AgNORs proteins in chemically induced ratliver carcinogenesis. *Hepatology* 1998; 24: 1269-73.